

## 第五章 线性系统理论引论

§ 5-0 引言 .....	5-0-1
§ 5-1 线性系统的数学描述 .....	5-1-1
5-1-1 线性系统的经典描述方法 .....	5-1-1
一、常系数、线性、连续系统的经典描述方法.....	5-1-1
1. 用微分方程来描述 .....	5-1-1
2. 用传递函数来描述 .....	5-1-2
3. 用频率特性来描述 .....	5-1-4
4. 用脉冲过渡函数来描述 .....	5-1-4
5. 借助图形来描述(信号流程图) .....	5-1-7
二、常系数、线性、离散系统的经典描述方法.....	5-1-16
1. 用差分方程来描述 .....	5-1-16
2. 用Z传递函数来描述 .....	5-1-17
三、变系数、线性、连续系统的经典描述方法.....	5-1-18
四、变系数、线性、离散系统的经典描述方法.....	5-1-19
5-1-2 线性系统的现代描述方法 .....	5-1-19
一、线性系统的状态空间描述 .....	5-1-19
1. 线性、连续系统的状态空间描述 .....	5-1-19
2. 线性、离散系统的状态空间描述 .....	5-1-25
二、线性系统的结构图表示 .....	5-1-27
三、常系数、线性、连续系统的传递矩阵 .....	5-1-28
四、常系数、线性、离散系统的传递矩阵 .....	5-1-29

## 五、随机线性系统的数学描述 ..... 5 - 1 - 30

§ 5 - 2 线性系统的最佳设计 .....	5 - 2 - 1
5 - 2 - 1 最佳设计问题的提出 .....	5 - 2 - 1
5 - 2 - 2 最佳设计的性能指标 .....	5 - 2 - 4
5 - 2 - 3 最佳泸波原理 .....	5 - 2 - 7
一、维纳最佳泸波原理 .....	5 - 2 - 7
二、卡尔曼泸波原理 .....	5 - 2 - 14
5 - 2 - 4 最佳控制原理 .....	5 - 2 - 19
一、确定性系统最佳控制原理 .....	5 - 2 - 19
二、随机性系统最佳控制原理 .....	5 - 2 - 21
三、随机性系统最佳控制问题的分解原理 .....	5 - 2 - 23
§ 5 - 3 线性系统的基本特性 .....	5 - 3 - 1
5 - 3 - 1 引言 .....	5 - 3 - 1
5 - 3 - 2 线性系统的可观性 .....	5 - 3 - 2
一、系统可观性概念 .....	5 - 3 - 2
二、系统完全状态可观性准则 .....	5 - 3 - 2
三、系统一致可观性概念 .....	5 - 3 - 14
5 - 3 - 3 线性系统的可控性 .....	5 - 3 - 29
一、系统可控性概念 .....	5 - 3 - 29
二、系统完全状态可控性准则 .....	5 - 3 - 30
三、系统完全输出可控性准则 .....	5 - 3 - 39
四、系统一致可控性概念 .....	5 - 3 - 40

<b>6 - 3 - 4 线性系统的稳定性</b>	<b>5 - 3 - 57</b>
<b>一、系统稳定性概念</b>	<b>5 - 3 - 57</b>
1. 系统的描述	5 - 3 - 57
2. 平衡状态	5 - 3 - 58
3. 稳定性概念	5 - 3 - 58
<b>二、李雅普诺夫直接法</b>	<b>5 - 3 - 61</b>
<b>三、线性系统的稳定性准则</b>	<b>5 - 3 - 68</b>
<b>四、线性系统稳定性的一般形式</b>	<b>5 - 3 - 80</b>
<b>五、利用李雅普诺夫函数</b>	
估计系统时间常数的上界	5 - 3 - 83
 <b>§ 5 - 4 线性系统的不变量及其规范形式</b>	<b>5 - 4 - 1</b>
<b>5 - 4 - 1 状态矢量的线性变换及</b>	
<b>系统的不变量</b>	<b>5 - 4 - 1</b>
<b>5 - 4 - 2 线性系统的若唐规范形式</b>	<b>5 - 4 - 3</b>
<b>5 - 4 - 3 线性系统的可控规范形式</b>	<b>5 - 4 - 25</b>
<b>5 - 4 - 4 线性系统的可观寔规范形式</b>	<b>5 - 4 - 31</b>
 <b>§ 5 - 5 常系数、线性系统的实现问题</b>	<b>5 - 5 - 1</b>
<b>5 - 5 - 1 常系数、线性系统的可控实现</b>	<b>5 - 5 - 1</b>
<b>5 - 5 - 2 常系数、线性系统的可观寔实现</b>	<b>5 - 5 - 7</b>
<b>5 - 5 - 3 常系数、线性系统的并联形实现</b>	<b>5 - 5 - 9</b>
<b>一、并联可控实现</b>	<b>5 - 5 - 9</b>
<b>二、并联可观寔实现</b>	<b>5 - 5 - 13</b>

5 - 5 - 4	常系数、线性系统的串联形实现 .....	5 - 5 - 15
5 - 5 - 5	常系数、线性系统的最小实现 .....	5 - 5 - 21
§ 5 - 6	状态反馈问题 .....	5 - 6 - 1
5 - 6 - 1	反馈问题 .....	5 - 6 - 1
5 - 6 - 2	极点配置问题 .....	5 - 6 - 8
一、	单轨入单轨出系统的极点配置问题 .....	5 - 6 - 9
二、	特殊情况下多轨入多轨出系统的 极点配置问题 .....	5 - 6 - 18
5 - 6 - 3	稳定性问题 .....	5 - 6 - 26
一、	能稳定性 .....	5 - 6 - 26
二、	衰减速度 .....	5 - 6 - 28
三、	减少反馈量 .....	5 - 6 - 29
四、	轨出反馈的稳定性 .....	5 - 6 - 33
5 - 6 - 4	分离性控制问题 .....	5 - 6 - 35
§ 5 - 7	观察能原理 .....	5 - 7 - 1
5 - 7 - 1	引言 .....	5 - 7 - 1
5 - 7 - 2	观察能和“可检测系统” .....	5 - 7 - 1
一、	观察能构成的基本思想 .....	5 - 7 - 1
二、	观察能和“可检测系统” .....	5 - 7 - 5
5 - 7 - 3	观察能的基本关系 .....	5 - 7 - 13
5 - 7 - 4	基本观察能 .....	5 - 7 - 26
5 - 7 - 5	降维观察能 .....	5 - 7 - 29

一、单轨入单轨出系统的降维观察口	5 - 7 - 31
二、多轨入多轨出系统的降维观察口	5 - 7 - 39
5 - 7 - 6 用观察口构成状态反馈	5 - 7 - 46
§ 5 - 8 灵敏度分析	5 - 8 - 1
5 - 8 - 1 经典灵敏度和闭环极偏移与增益偏移 以及开环零点，极点偏移间的关系	5 - 8 - 1
5 - 8 - 2 比较灵敏度	5 - 8 - 8
5 - 8 - 3 轨道灵敏度函数	5 - 8 - 19
§ 5 - 9 线性系统的对偶原理	5 - 9 - 1
5 - 9 - 1 线性系统的可观测性与 可控性之间的对偶特性	5 - 9 - 1
5 - 9 - 2 随机最佳估计和确定性 最佳控制之间的对偶特性	5 - 9 - 2
5 - 9 - 3 对偶系统和对偶原理	5 - 9 - 5
5 - 9 - 4 线性系统的对偶关系式	5 - 9 - 7

## 第六章 最佳沪波原理

§ 6-0 引言 .....	6-0-1
§ 6-1 估计问题 .....	6-1-1
6-1-1 统计估计问题 .....	6-1-1
一、最小方差估计 .....	6-1-1
二、极大验后估计 .....	6-1-5
三、极大似然估计 .....	6-1-6
四、举例 .....	6-1-7
6-1-2 线性估计 .....	6-1-18
一、线性最小方差估计 .....	6-1-18
二、最小二乘估计 .....	6-1-24
6-1-3 估计问题小结 .....	6-1-28
一、几种估计方法的比较 .....	6-1-28
二、几种估计方法间的关系 .....	6-1-30
§ 6-2 线性最佳沪波原理 .....	6-3-1
6-2-1 离散、线性系统的最佳沪波原理 .....	6-2-1
一、概述 .....	6-2-1
二、卡尔曼沪波砾式 .....	6-2-3
三、卡尔曼沪波的性质 .....	6-2-21
四、白噪声情况下一般线性系统的沪波砾式 .....	6-2-21
五、有色噪声情况下线性系统的沪波 .....	6-2-28

<b>六、举例</b>	.....	<b>6 - 2 - 44</b>
<b>6 - 2 - 2 连续、线性系统的最佳泸波原理</b>	.....	<b>6 - 2 - 67</b>
<b>一、连续、线性系统的最佳泸波问题</b>	.....	<b>6 - 2 - 67</b>
<b>二、等效的离散、线性系统</b>	.....	<b>6 - 2 - 68</b>
<b>1. 将白噪声过程视为白噪声序列的</b>		
<b>极限情况</b>	.....	<b>6 - 2 - 68</b>
<b>2 等效的离散、线性系统</b>	.....	<b>6 - 2 - 72</b>
<b>三、连续、线性系统泸波的基本标式</b>	.....	<b>6 - 2 - 74</b>
<b>四、举例</b>	.....	<b>6 - 2 - 81</b>
<b>§ 6 - 3 最佳泸波的稳定性和误差分析</b>	.....	<b>6 - 3 - 1</b>
<b>6 - 3 - 1 最佳泸波的稳定性</b>	.....	<b>6 - 3 - 1</b>
<b>一、最佳泸波的稳定性概念</b>	.....	<b>6 - 3 - 1</b>
<b>二、稳定性准则</b>	.....	<b>6 - 3 - 2</b>
<b>6 - 3 - 2 最佳泸波的误差分析</b>	.....	<b>6 - 2 - 8</b>
<b>一、误差协方差矩阵微分方程和</b>		
<b>差分方程的解析解</b>	.....	<b>6 - 3 - 8</b>
<b>1. 误差协方差矩阵微分方程的解析解</b>	.....	<b>6 - 3 - 8</b>
<b>2. 误差协方差矩阵差分方程的解析解</b>	.....	<b>6 - 3 - 18</b>
<b>二、误差协方差矩阵的上、下界</b>	.....	<b>6 - 3 - 22</b>
<b>三、误差协方差矩阵的渐近特性</b>	.....	<b>6 - 3 - 33</b>
<b>§ 6 - 4 模型识差分析，最佳泸波的</b>		
<b>发散现象和克服发散的方法</b>	.....	<b>6 - 4 - 1</b>

6 - 4 - 1	模型误差分析	6 - 4 - 1
一、	模型误差分析的一般方法	6 - 4 - 1
二、	特殊情况的讨论	6 - 4 - 6
6 - 4 - 2	泸波的发散现象	6 - 4 - 15
6 - 4 - 3	克服发散的方法	6 - 4 - 16
一、	限定下界法	6 - 4 - 16
二、	状态扩充法	6 - 4 - 20
三、	渐消记(衰减记忆泸波)	6 - 4 - 22
四、	限定记忆泸波	6 - 4 - 31
五、	自适应泸波	6 - 4 - 35

## § 5-7 观察能原理

### 5-7-1 引言

上节我们比较详细地介绍了状态反馈的有关问题。我们知道，用状态反馈的方法可以任意配置极点，以致使系统校定以及满足一定的品质指标。但是，当一个系统的状态变量不能被全下测得时，这个方法就遇到困难，而必需采取别的途径进行反馈，并尽量希望得到与状态反馈具有相同的效果。一般有三种办法：

- (1) 用输出反馈代替状态反馈。这种方法只有在输出反馈能使系统达到校定的情况下才能使用，而要校验这点是很不方便的，并且它不能任意配置极点，因此在设计系统时，会遇到一些不可克服的矛盾，这点已在上节叙述过；
- (2) 在被调对象前串接一个补偿器或在反馈回路中串接一个校正装置，使闭路系统具有希望的品质；
- (3) 因为一般系统的输入输出是可以测量的，并且系统的输入是直接影响系统的状态变量的，而系统的输出又是直接受其状态变量的变化所支配的。因此，我们可以设法另外构造一个系统，它以原系统的输入输出作为它的输入量，而它的输出等于或接近原系统的状态变量或者状态变量的线性组合。然后将此构成系统的输出作为状态反馈信号进行反馈构成闭环系统，使它达到设计要求。这就是观察能方法。

### 5-7-2 观察能和“可校测系统”

#### 一、观察能构成的基本思想

我们先来分析一下常系数单输入单输出系统

$$\begin{cases} \dot{X}(t) = AX(t) + bu(t) \\ y(t) = CX(t) \end{cases} \quad (5-7-1)$$

因为  $\dot{y}(t) = C\dot{X}(t) = CAx(t) + Cbu(t)$

所以

$$\dot{y}(t) - Cbu(t) = CAx(t)$$

同样有

$$\begin{aligned} \ddot{y}(t) - Cbu(t) - CA\dot{b}u(t) &= CA^2 X(t) \\ &\vdots \\ y^{(n-1)}(t) - Cbu^{(n-2)}(t) - \cdots - CA^{n-2}bu(t) &= CA^{n-1}X(t) \end{aligned}$$

设

$$Z_1(t) = y(t);$$

$$Z_2(t) = \dot{y}(t) - Cbu(t)$$

$$\begin{array}{c} \vdots \\ \vdots \\ Z_n(t) = y^{(n-1)}(t) - Cbu^{(n-2)}(t) - \cdots - CA^{n-2}bu(t) \end{array}$$

并且设

$$Z(t) = \begin{pmatrix} Z_1(t) \\ \vdots \\ Z_n(t) \end{pmatrix}$$

则有

$$Z(t) = \begin{bmatrix} C \\ CA \\ \vdots \\ CA^{n-1} \end{bmatrix} X(t) = Q_0 X(t)$$

式中

$$Q_0 = \begin{bmatrix} C \\ CA \\ \vdots \\ CA^{n-1} \end{bmatrix} — n \times n \text{ 矩阵 (可观测矩阵)}$$

当  $\text{rank } Q_0 = n$  时，即系统为可观测时，得

$$X(t) = Q_0^{-1} Z(t)$$

这就相当于构造了一个系统  $Z$ ，它以  $u(t)$ ， $y(t)$  和它们的高阶导数为输入， $Z(t)$  为输出，并且由  $Z(t)$  变换  $Q_0^{-1}$  可得到  $X(t)$ 。见图 5-7-1。由于系统  $Z$  中包含了一直到  $n-1$  次的微分项，因此与  $u(t)$  和  $y(t)$  混在一起的干扰，经过微分后，就会严重地影响输出  $Z(t)$ ，因此，这不是我们所希望的可观测性。

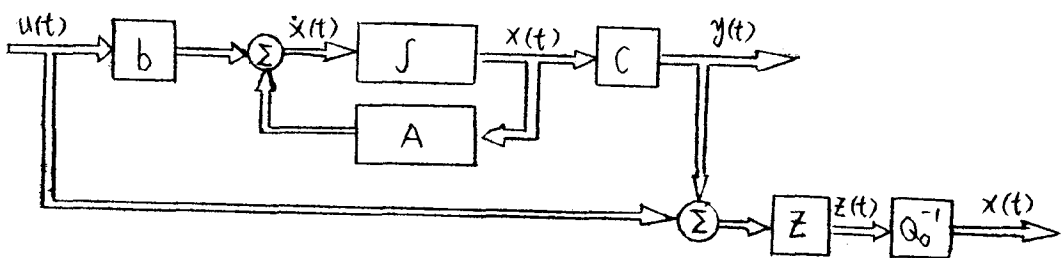


图 5-7-1 由  $u(t)$ 、 $y(t)$  得到  $X(t)$  的结构图

另一个很自然的想法是，根据原系统  $S: (A, b, c)$  设计一个结构上与它相同的系统

$$\tilde{\dot{x}}(t) = \tilde{A}\tilde{x}(t) + \tilde{b}u(t)$$

则有

$$\dot{x}(t) - \tilde{\dot{x}}(t) = A(x(t) - \tilde{x}(t))$$

因此当初始条件相同，和有相同的控制  $u(t)$  时，就有  $\tilde{x}(t) = x(t)$   
若初始值不相同，控制  $u(t)$  相同，那么，由于

$x(t) - \tilde{x}(t) = e^{A(t-t_0)}(x(t_0) - \tilde{x}(t_0))$ ，因此，当原系统  
 $S: (A, b, c)$  是渐近稳定的，就有  $\lim_{t \rightarrow \infty} (x(t) - \tilde{x}(t)) = 0$ ，若原

系统不稳定，那  $\tilde{x}(t)$  与  $x(t)$  的差别就会很大。但是由于  $x(t)$  是无法测量的，也就无法直接知道两者之差，但是由于输出  $y(t)$  是可以知道的，因此，我们可将  $\tilde{x}(t)$  变成  $C\tilde{x}(t)$ ，这样  $\tilde{x}(t)$  与  $x(t)$  之差就变成了  $y(t) - C\tilde{x}(t)$ ，因此，这时就可用

$y(t) - C\tilde{x}(t)$  作为反馈，使  $\tilde{x}(t) \rightarrow x(t)$  得到实现，这就是构成观察器的基本思想。见图 5-7-2。

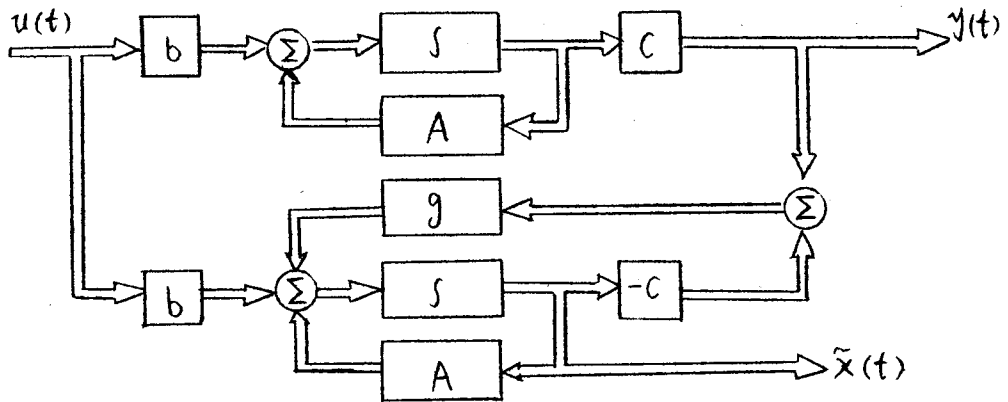


图 5-7-2 由  $u(t)$ ,  $y(t)$  得到  $x(t)$  的结构图

### 三 观察能和“可检测系统”

当一个系统  $S : (A, B, C)$  的状态矢量  $X(t)$  不可直接测得时，如果有另一个系统  $S_0 : (A_0, B_0, C_0)$ ，它以系统  $S : (A, B, C)$  的输入  $u(t)$  和输出  $y(t)$  作为输入，而它的输出  $w(t)$  满足：

$$\lim_{t \rightarrow \infty} (KX(t) - w(t)) = 0 \quad (5-7-2)$$

式中  $K$  是予先给定的矩阵，则称系统  $S_0 : (A_0, B_0, C_0)$  是系统  $S : (A, B, C)$  的一个  $K \cdot X(t)$  观察能。特别地，当  $K = I$  时，称系统  $S_0 : (A_0, B_0, C_0)$  为系统  $S : (A, B, C)$  的状态观察能。

对于图 5-7-2 所示的单输入单输出系统，经反馈  $g$  后得

$$\dot{\tilde{x}}(t) = A\tilde{x}(t) + bu(t) + gC(x(t) - \tilde{x}(t))$$

$$\text{因此得: } \dot{x}(t) - \dot{\tilde{x}}(t) = (A - gC)(x(t) - \tilde{x}(t))$$

假如选择了适当的  $g$ , 使  $A - gC$  的特征值都具负实部, 那么,

$$\lim_{t \rightarrow \infty} (x(t) - \tilde{x}(t)) = 0$$

因此系统

$$\begin{cases} \dot{\tilde{x}}(t) = (A - gC)\tilde{x}(t) + bu(t) + gy(t) \\ \tilde{y}(t) = \tilde{x}(t) \end{cases} \quad (5-7-3)$$

就是系统  $S : (A, b, c)$  的一个状态观察器。

如前所述, 当系统的  $(A, b)$  为可控对时, 总可以选择  $K$ , 使  $(A + bK)$  具有任选指定的特征值, 用同样的方法可以证明, 当系统的  $(A, C)$  为可观察能对时, 也总可以选择  $g$ , 使  $(A - gC)$  具有任选指定的特征值。由此可知, 对一个可观察能的单输入单输出系统, 状态观察器一定存在。

实际上当系统  $S : (A, b, c)$  为可观察能时, 由线性系统的规范形式可知, 当  $\det(SI - A) = S^n + a_{n-1}S^{n-1} + \dots + a_1S + a_0$  时, 则通过坐标变换

$$T^{-1} = \begin{bmatrix} a_1 & a_2 & \dots & a_{n-1} & 1 \\ a_2 & a_3 & \dots & 1 & 0 \\ \vdots & \vdots & & & \\ a_{n-1} & 1 & \dots & 0 & 0 \\ 1 & 0 & \dots & 0 & 0 \end{bmatrix} \begin{bmatrix} C \\ CA \\ \vdots \\ CA^{n-1} \end{bmatrix}$$

使系统  $S: (A, b, c)$  化为可观测规范形式  $S_{\text{obs}}: (A_{\text{obs}}, b_{\text{obs}}, c_{\text{obs}})$

并且有

$$\left\{ \begin{array}{l} A_{\text{obs}} = \begin{pmatrix} 0 & \cdots & 0 & -a_0 \\ 1 & \cdots & 0 & -a_1 \\ \vdots & \ddots & \vdots & \vdots \\ 0 & \cdots & 1 & -a_{n-1} \end{pmatrix} \\ b_{\text{obs}} = \begin{pmatrix} \beta_0 \\ \beta_1 \\ \vdots \\ \beta_{n-1} \end{pmatrix} \\ c_{\text{obs}} = (0, \dots, 0, 1) = e_n^T \end{array} \right.$$

如果取

$$g_{\text{obs}} = \begin{pmatrix} g_{\text{obs}, 0} \\ g_{\text{obs}, 1} \\ \vdots \\ g_{\text{obs}, n-1} \end{pmatrix}$$

则得

$$A_{\text{obs}} - g_{\text{obs}} C_{\text{obs}} = \begin{pmatrix} 0, \dots, 0, -(a_0 + g_{\text{obs}, 0}) \\ 1, \dots, 0, -(a_1 + g_{\text{obs}, 1}) \\ \vdots \\ 0, \dots, 1, -(a_{n-1} + g_{\text{obs}, n-1}) \end{pmatrix}$$

因此，当选择  $g_{\text{obs}}$  使得  $(A_{\text{obs}} - g_{\text{obs}} C_{\text{obs}})$  的特征值具有负实部时，那么  $(A - g C)$  也具有负实部，并且这时有  $g = T g_{\text{obs}}$ ，也就是说，这时系统

$$\begin{cases} \dot{\tilde{x}}(t) = (A - g C) \tilde{x}(t) + b u(t) + g y(t) \\ \tilde{y}(t) = \tilde{x}(t) \end{cases} \quad (5-7-4)$$

就成为系统  $S: (A, b, c)$  的状态观察器。

另外，如果注意到系统

$$\dot{Z}(t) = (A_{0,II} - g_0 C_{0,II}) Z(t) + b_{0,II} u(t) + g_0 y(t)$$

的  $Z(t) \rightarrow T^{-1} X(t)$ ，(当  $t \rightarrow \infty$  时)，而  $T$  是非奇异的，因此系统

$$\begin{cases} \dot{Z}(t) = (A_{0,II} - g_0 C_{0,II}) Z(t) + b_{0,II} u(t) + g_0 y(t) \\ w(t) = TZ(t) \end{cases} \quad (5-7-4)$$

也是系统  $S: (A, b, c)$  的一个状态观察器。

关于  $\tilde{x}(t)$  趋近  $x(t)$  的速度，当然由  $g$  的选择来决定，这是在设计观察器之前要确定的对观察器的性能要求。但是，如果  $g$  选得使  $\tilde{x}(t)$  很快地趋近  $x(t)$ ，则所设计的观察器的通频带就会变宽，从而降低了对高频干扰的抗干扰性，因此在设计观察器时，要结合各种指标要求，选择合适的  $g$ 。

(例题 5-7-1) 设有系统  $S: (A, b, c)$ ，并且

$$A = \begin{bmatrix} 1 & 0 & 0 \\ 0 & 2 & 1 \\ 0 & 0 & 2 \end{bmatrix}; \quad b = \begin{bmatrix} 1 \\ 0 \\ 1 \end{bmatrix}; \quad c = [1, 1, 0]$$

试设计一个观察器，要求其极点为  $-3, -4, -5$ 。

(解) 根据分析，系统  $S: (A, b, c)$  是可观的，并且有

$$det(SI - A) = (S-1)(S-2)^2 = S^3 - 5S^2 + 8S - 4$$

$$\dot{\tilde{X}}(t) = \begin{bmatrix} -119 & -120 & 0 \\ 103 & 105 & 1 \\ -210 & -210 & 2 \end{bmatrix} \tilde{X}(t) + \begin{bmatrix} 1 \\ 0 \\ 1 \end{bmatrix} u(t) + \begin{bmatrix} 120 \\ -103 \\ 210 \end{bmatrix} y(t)$$

$$\tilde{y}(t) = \tilde{X}(t)$$

或

$$\dot{\tilde{Z}}(t) = \begin{bmatrix} 0 & 0 & -60 \\ 1 & 0 & -47 \\ 0 & 1 & -12 \end{bmatrix} \tilde{Z}(t) + \begin{bmatrix} 5 \\ -3 \\ 1 \end{bmatrix} u(t) + \begin{bmatrix} 64 \\ 39 \\ 17 \end{bmatrix} y(t)$$

$$w(t) = T \tilde{Z}(t) = \begin{bmatrix} 1 & 1 & 1 \\ -1 & -1 & 0 \\ 1 & 2 & 4 \end{bmatrix} \tilde{Z}(t)$$

由上面的讨论和例题 5-7-1 可知，状态观察能并不是唯一的，它可以用不同的结构来得到。

对于多输入多输出系统  $S: (A, B, C)$ ，当它是可观测时，则可用同样的方法，也需选择  $G$ ，使  $(A - GC)$  的特征值都具有负实部下，则系统

$$\begin{cases} \dot{\tilde{X}}(t) = (A - GC)\tilde{X}(t) + Bu(t) + Gy(t) \\ \tilde{Y}(t) = \tilde{X}(t) \end{cases} \quad (5-7-5)$$

为系统  $S: (A, B, C)$  的状态观察器。